

مقاله پژوهشی

بررسی تأثیر کاربرد باکتری‌های از توباکتر کروکوکوم و سودوموناس پوتیدا بر رنگیزهای فتوستنتزی و عملکرد گندم در شرایط تنفس کادمیوم

زهرا وطن‌پور^{*}، روح‌الله متغیر آزاد^۲، سدابه جهانبخش گده‌کهریز^۳، علی موافقی^۴، محسن سبزی نوجده^۵

۱. دانشجوی دکتری فیزیولوژی گیاهی، دانشکده علوم طبیعی، دانشگاه تبریز، تبریز

۲. استادیار دانشکده علوم طبیعی، دانشگاه تبریز، تبریز

۳. دانشیار دانشکده کشاورزی و منابع طبیعی زراعت و اصلاح نباتات، اردبیل

۴. استاد دانشکده علوم طبیعی، سیتوفیزیولوژی، دانشگاه تبریز، تبریز

۵. استادیار دانشکده کشاورزی و منابع طبیعی اهر، دانشگاه تبریز

تاریخ دریافت: ۹۹/۰۴/۱۱؛ تاریخ پذیرش: ۹۹/۰۶/۱۸

چکیده

آلودگی ناشی از فلزات سنگین یکی از مشکلات اساسی جوامع بشری در تولید محصولات کشاورزی است و به عنوان عامل اساسی تهدید سلامت بشر به شمار می‌رود. پژوهش حاضر به منظور بررسی امکان کاهش اثرات سمیت ناشی از آلودگی خاک با کادمیوم به وسیله کاربرد گونه‌های باکتریایی جنس از توباکتر و سودوموناس انجام گردید. برای این منظور، غلظت‌های صفر، ۷۵، ۱۵۰، ۳۰۰ و ۳۰۰ میکرومولار کلرید کادمیوم به همراه باکتری‌های محرك رشد (از توباکتر کروکوکوم و سودوموناس پوتیدا) به دو رقم گندم (گندم و کریم) اعمال شدند. صفات موردنرسی شامل محتوای رنگیزهای فتوستنتزی (کلروفیل a، b و کل) رنگیزهای کمکی (کارتنوئیدها، فلاونوئیدها)، عملکرد کواترnomی، SPAD، وزن خشک ساقه، عملکرد دانه، وزن دانه و تعداد دانه است. آزمایش در قالب طرح کامل تصادفی (CRD) با سه تکرار و در شرایط گلخانه‌ای انجام شدند. نتایج تجزیه واریانس صفات موردنرسی نشان داد که تنفس کادمیوم موجب کاهش رنگیزهای فتوستنتزی، فلاونوئیدها، عملکرد کواترnomی و شاخص سبزینگی گردید اما میزان کارتنوئیدها افزایش یافت. حضور باکتری‌های محرك رشد موجب تخفیف اثرات تنفس کادمیوم بر گیاهان گندم شد به طوری که شاخص‌های مذکور در گیاهان تیمار تلقیح شده با باکتری‌ها به صورت معنی‌داری افزایش نشان دادند

واژه‌های کلیدی: ریزوپاکتری‌های محرك رشد، رنگیزه، فلز سنگین، گندم

مقدمه

سایر موجودات زنده می‌گذارد (Asadi Rahmani et al., 2012; Akbari and Cheraghi, 2019). افزایش غلظت فلزات سنگین در خاک از سوی دیگر موجب سمیت و رشد و عملکرد گیاهان زراعی را تحت تأثیر قرار می‌دهد (Salehi et al., 2014; Hosseinpour et al., 2017). فلزات سنگین موجب اختلال در فرآیندهای فیزیولوژیکی و متابولیکی گیاهان می‌شوند (Isarankura et al., 2009; Alahbakhsh et al., 2018). کادمیوم به عنوان یکی از فلزات سنگین بسیار سمی (Amani, 2008) به شمار می‌رود

گندم به عنوان یک محصول استراتژیک در تغذیه انسان به شمار می‌رود و افزایش روزافزون جمعیت جهانی مستلزم تولید بیشتر محصولات کشاورزی است (Mousavi, 2010; Najafi, et al., 2019). برای دست یافتن به عملکرد بالای گیاهان زراعی بهویژه در کشورهای در حال توسعه به طور وسیعی از کودهای شیمیایی و آفت‌کش‌ها استفاده می‌شود که موجب انباست بیش از حد فلزات سنگین در خاک‌های کشاورزی می‌گردد و اثرات زیان باری را بر سلامت انسان و

Dikkaya and Ergun, 2014; Alahbakhsh et al., 2018).

با توجه به موارد ذکر شده و اهمیت گندم به عنوان غذای عمدۀ انسان، پژوهش حاضر با هدف بررسی اثر ریزوباکتری‌های محرک رشد (GPR) گیاهی در کاهش اثرات کادمیوم در دو رقم گندم و نیز اثر آن‌ها بر رنگیزه‌های گیاهی از طریق بررسی تغییر محتوای رنگیزه‌های گیاهی انجام گردید.

مواد و روش‌ها

به منظور بررسی نقش ریزوباکتری‌های محرک رشد (GPR) گیاهی در کاهش اثرات ناشی از سمیت کادمیوم در دو رقم گندم، آزمایشی در قالب طرح کامل تصادفی با سه تکرار در دانشگاه محقق اردبیلی در سال ۱۳۹۷ اجرا گردید. روش کشت به صورت هیدروپونیک در محیط بسته و فاکتورها شامل ارتفاع گندم (آبی) و کریم (دیم) و تیمار با کلرید کادمیوم^۴ در چهار سطح (صفر، ۷۵، ۱۵۰ و ۳۰۰ میکرومولار) و نیز باکتری‌های از توباکتر کروکوکوم و سودوموناس پوتیدا بود. برای تلقیح بذرها ابتدا بذور به مدت ۱۲ ساعت در آب قرار داده شد، سپس مقدار دو میلی‌لیتر (هر میلی‌لیتر از مایه تلقیح دارای ۱۰۷ عدد باکتری زنده بود) به ازای هر ۱۰ گرم بذر، به ترتیب باکتری از توباکتر و سودوموناس به توده بذری اضافه و بعد از گذشت ۴۸ ساعت بذرها برای کشت آماده شدند گلدان کشت شد و ۰/۱ میلی‌لیتر مایه تلقیح در پرلیت داخل گلدان اضافه گردید.

آبیاری گلدان‌ها با استفاده از محلول هوگلنند با pH ۵/۵ برای جذب کادمیوم انجام شد (Hoagland and Arnon, 1950). محلول پاشی کادمیوم، در مرحله ۳ برگچه‌ای (۰ روز بعد از کشت) گیاه انجام شد. به منظور سنجش رنگیزه‌های فتوستنتزی، فلاونوئید کل، عملکرد کوانتموی و شدت سبزینگی، نمونه برداری در چهار بازه زمانی ۷۲، ۴۸، ۲۴ و ۰ ساعت و نیز مرحله ساقه‌دهی انجام شد و پس از محلول پاشی با کلرید کادمیوم نهایتاً گیاهچه‌ها برداشت و تا زمان سنجش در ۸۰- درجه سانتی‌گراد نگهداری شدند.

سنجش رنگیزه‌های فتوستنتزی

و تغییرات مورفولوژیکی و فیزیولوژیکی بسیاری را در گیاهان موجب می‌گردد (Dikkaya and Ergun, Alahbakhsh et al., 2018; 2014). مطالعات نشان داده‌اند که غلظت‌های بالاتر کادمیوم موجب مهار فتوستنتز، افزایش کنترل نشده رادیکال‌های آزاد و تغییر در زیرساخت‌های گیاهی می‌شود (Khan et al., 2013; Alahbakhsh et al., 2018) (یکی دیگر از اثرات ثانویه سمیت کادمیوم در گیاهان، القای تنفس اکسیداتیو است (Sargent et al., 2014; Nourbakhsh Rezaei, 2019) که موجب تشکیل گونه‌های فعال اکسیژن^۱ (Tkalec et al., 2014; Nourbakhsh Rezaei, 2019) مهار فعالیت آنزیم روبیسکو، جذب نیتروژن و سولفات می‌شود (Nakarآمدی و هزینه‌بر بودن روش‌های پالایش فیزیکوشیمیایی خاک‌های آلوده به فلزات سنگین باعث شده است که روش‌های کم‌هزینه و مؤثرتر نظری استفاده میکروارگانیسم‌ها در کاهش اثرات فلزات سنگین مورد توجه قرار گیرد (Ma et al., 2011; Rostami et al., 2019). استفاده از مخلوطی از یک یا چند میکروارگانیسم مفید خاکزی باعث تأمین عناصر غذایی گیاهان و یا موجب بهبود خواص فیزیکوشیمیایی خاک می‌شوند (Bach, 2014; Yousefipor et al., 2018). باکتری‌های سودوموناس و از توباکتر از ریزوباکتری‌های محرک رشد^۲ هستند که با افزایش تولید آنزیم ACC دامیناز (۱-آمینوسیکلوپروپان دکربوکسیلاز دامیناز)، سیدروفور^۳، هورمون‌های رشد، ویتامین‌ها و افزایش جذب عناصر غذایی ضروری در خاک‌های آلوده به فلزات سنگین رشد و عملکرد گیاهان را بهبود می‌بخشند (Alikhani and Emami, 2011; Ma et al., 2020). یکی از دلایل کاهش رشد و عملکرد گیاهان تحت تنش کادمیوم می‌تواند به کاهش فتوستنتز مربوط باشد. در پژوهش‌های پیشین گزارش شده است که سمیت کادمیوم موجب تغییر در ساختارهای فتوستنتزی از جمله اجزای فتوسیستم II می‌شود. همچنین تغییر در شاخص‌های فلورسانس کلروفیل a در گیاهان تحت تیمار کادمیوم نشان‌دهنده کاهش عملکرد کوانتموی فتوسیستم II و تخریب اجزای مراکز واکنش است. از آنجائی که بسیاری از فرآیندهای فیزیولوژیکی گیاهان وابسته به فتوستنتز و فرآوردهای فتوستنتزی می‌باشند، از این‌رو به نظر می‌رسد بهبود فتوستنتز در گیاهان تحت تنش کادمیوم موجب بهبود رشد آن‌ها شود

¹ ROS

² Plant Growth Promoting Rhizobacteria (PGPR)

³ Siderophore

⁴ CdCl₂H₂O

مقدار این پارامتر توسط دستگاه تنفسنچ یا فلورئومتر، مدل PSM Biomonitor S.C.I. AB, Umea Sweden اندازه‌گیری شد.

$$Qy = Fv/Fm \quad [5]$$

که در آن Fm : در شرایط بسته بودن مراکز واکنشی حداکثر فلورسانس متغیر حاصل از مراکز واکنش چرخه‌ای فتوسیستم دو را می‌گویند. Fv : تغییرات فلورسانس بین $F0$ و Fm در شرایطی که تمام فرایندهای غیرفتوصیمیابی در حداقل قرار دارند. Qy : حداکثر بازده کوانتمی فتوسیستم دو در شرایط تاریکی هستند.

ماده خشک بوته و عملکرد

به منظور اندازه‌گیری وزن خشک بوته بعد از ظهر عالائم فاز زایشی، پنج بوته از هر گلدان به صورت تصادفی انتخاب و به مدت ۴۸ ساعت در آون با دمای ۷۵ درجه سانتی‌گراد خشک شدند. به منظور اندازه‌گیری عملکرد دانه، پس از رسیدگی کامل بوته‌ها پنج بوته از هر گلدان به طور تصادفی انتخاب و بوته‌های موجود کفبر و به آزمایشگاه منتقل شدند. پس از خشک شدن بوته‌ها در هوای آزاد، دانه‌ها از کاه جدا و عملکرد دانه تک بوته با ترازوی دارای دقت ۱/۰۰ گرم اندازه‌گیری شد. میانگین تعداد دانه در سنبله اصلی و وزن دانه در سنبله اصلی نیز در پنج بوته از هر گلدان بر حسب میلی‌گرم به دست آمد.

آنالیز آماری

تجزیه واریانس داده‌ها و مقایسه میانگین اثرات اصلی و اثرات متقابل تیمارها با استفاده از آزمون چند دامنه‌ای دانکن در سطح احتمال پنج درصد با استفاده از نرمافزار SAS 9.1 انجام شد و نمودارها با استفاده از نرمافزار Excel ۲۰۱۶ ترسیم شدند. تجزیه واریانس در هر یک از زمان‌های ۴۸، ۲۴ و ۷۲ ساعت و مرحله ساقده‌ی، بعد از اعمال تیمار کادمیوم به طور مجزا انجام شد.

نتایج و بحث

رنگیزه‌های اصلی فتوسنتزی

نتایج حاصل از تجزیه واریانس رنگیزه‌های اصلی فتوسنتز (کلروفیل a، کلروفیل b و کلروفیل کل) در زمان‌های ۴۸، ۲۴ و ۷۲ ساعت بعد از اعمال تیمار کادمیوم و مرحله ساقده‌ی

برای سنجش رنگدانه‌های فتوسنتزی شامل کلروفیل‌های a، b و کارتنتوئیدها، ابتدا مقدار ۰/۵ گرم از برج گیاه به قسمت‌ها خیلی کوچک تقسیم و در داخل استون ۸۰ درصد قرار داده شد. بعد از گذشت ۱۲ ساعت محلول به دست آمده با ۵۰۰۰ g سانتریفیوز گردید و جذب نوری محلول رویی در طول موج‌های ۶۴۳ و ۶۴۵ و ۴۷۰ نانومتر به دست آمد (Dere, 1998). غلظت هر یک از رنگیزه‌های فتوسنتزی بر اساس فرمول‌های زیر محاسبه گردید.

$$Chlorophyll a (\mu\text{gg}^{-1}) = Ca = 11.75A663 - 2.350A665 \quad [1]$$

$$Chlorophyll b (\mu\text{gg}^{-1}) = Cb = 18.61A645 - 3.960A663 \quad [2]$$

$$Chlorophyll Total = Ca + Cb \quad [3]$$

$$Carotenoids (\mu\text{gg}^{-1}) = Cx+c = 1000A470 + 2.270Ca - 81.4Cb / 227 \quad [4]$$

سنجش فلاونوئید کل

مقادیر فلاونوئیدها در نمونه عصاره‌های گیاهی به روش پورمراد و همکاران (Pourmorad et al., 2006) و جلالی و همکاران (Jalali et al., 2007) اندازه‌گیری شدند. ابتدا ۰/۱ میلی‌لیتر کلرید آلومینیوم ۱۰ درصد را با ۰/۱ میلی‌لیتر استات پتانسیم یک مولار مخلوط گردید و سپس به آن‌ها ۲/۸ میلی‌لیتر آب مقطر دو بار تقطیر اضافه شد. در مرحله بعد ۰/۵ میلی‌لیتر از محلول هر عصاره که با ۱/۵ میلی‌لیتر اتانول مخلوط گردیده بود، به مخلوط کلرید آلومینیوم، استات پتانسیم و آب اضافه گردید. مخلوط نهایی حاصل برای هر عصاره (با حجم ۵ میلی‌لیتر) برای مدت ۳۰ دقیقه در دمای اتاق قرار داده شد. سپس جذب مخلوط واکنش در طول موج ۴۱۵ نانومتر توسط اسپکتروفوتومتر (مدل Lambda 45-UV/Visible) اندازه‌گیری شد. مقدار فلاونوئید کل به صورت معادل میلی‌گرم کوئرستین برگرم وزن خشک محاسبه و بیان شد.

شاخص سبزینگی

اندازه‌گیری محتوی نسبی کلروفیل با استفاده از دستگاه SPAD-502 در زمان‌های مختلف نمونه‌برداری از برج سوم انجام گردید و مقدار عددی دستگاه SPAD ثبت شد.

فلورسانس کلروفیل

باشه زمانی ۷۲ ساعت مشاهده گردید (جدول ۲). اثرات متقابل باکتری در کادمیوم در مورد کلروفیل a در ۲۴ و ۷۲ ساعت و کلروفیل کل در ۷۲ ساعت معنی داری بود. اثرات متقابل رقم در باکتری در کلروفیل b در ۷۲ ساعت معنی دار شد (جدول ۱).

نشان داد که اثرات متقابل رقم در باکتری در ۷۲ ساعت بر کلروفیل a (سطح پنج درصد) و بر کلروفیل b و کلروفیل کل (سطح یک درصد) معنی دار شد (جدول ۱). مقایسه میانگین ها نشان داد، بیشترین مقدار کلروفیل b (بدون تغییر نسبت به شاهد) و کلروفیل کل (۴/۶۳٪ درصد نسبت به شاهد) از رقم کریم و کلروفیل a (۹۵/۳٪ نسبت به شاهد) در رقم گندبد در

جدول ۱. تجزیه واریانس مقدار رنگیزه های اصلی فتوسنتزی تحت تنش کلرید کادمیوم و باکتری های محرک رشد در دو رقم گندبد نان
Table 1- Analysis of variance of photosynthetic main pigments under cadmium chloride stress and growth-promoting bacteria in two bread wheat cultivars

S.O.V	منابع تغییرات	df	کلروفیل a Chlorophyll a				کلروفیل b Chlorophyll b				
			24h	48h	72h	stem stage	24h	48h	72h	stem stage	
Genotype(G)	ژنوتیپ	1	0.129ns	0.758*	1.751**	0.010ns	0.0001 ns	0.332*	0.021*	0.004 ns	
Bacteria(B)	باکتری	2	0.003ns	0.070ns	0.072*	0.011 ns	0.073 ns	0.212 ns	0.023**	0.081 ns	
Cadmium(C)	کادمیوم	3	1.33**	4.73**	1.842**	0.652**	0.465**	1.96**	0.125**	0.294**	
G×B	ژنوتیپ×باکتری	2	0.103ns	0.246ns	0.190*	0.048 ns	0.008 ns	0.03ns	0.031**	0.015 ns	
G×C	ژنوتیپ×کادمیوم	3	0.030ns	0.125ns	0.172ns	0.020 ns	0.009 ns	0.105ns	0.003ns	0.021 ns	
B×C	باکتری×کادمیوم	6	0.20**	0.121ns	0.225**	0.078 ns	0.019 ns	0.047 ns	0.004ns	0.021 ns	
	ژنوتیپ×باکتری×کادمیوم	6	0.022ns	0.086ns	0.032ns	0.032ns	0.005ns	0.027ns	0.003ns	0.017 ns	
G×B×C		خطا	48	0.051	0.142	0.042	0.066	0.019	0.088	0.003	0.029
CV (%)	ضریب تغییرات	-	11.3	14.16	9.01	11.12	15.7	20.40	7.56	15.79	

Table 1. Continued

جدول ۱. ادامه

S.O.V	منابع تغییرات	df	کلروفیل کل Chlorophyll total			
			24h	48h	72h	stem stage
Genotype(G)	ژنوتیپ	1	0.086 ns	1.125*	1.38**	0.002 ns
Bacteria(B)	باکتری	2	0.012 ns	0.066ns	0.088*	0.011 ns
Cadmium(C)	کادمیوم	3	1.75**	6.59**	1.879***	0.927***
G×B	ژنوتیپ×باکتری	2	0.092ns	0.193 ns	0.210**	0.037 ns
G×C	ژنوتیپ×کادمیوم	3	0.027 ns	0.045 ns	0.124 ns	0.029ns
B×C	باکتری×کادمیوم	6	0.188ns	0.152ns	0.195*	0.076ns
G×B×C	ژنوتیپ×باکتری×کادمیوم	6	0.014ns	0.078 ns	0.028 ns	0.038ns
Error	خطا	48	0.038	0.191	0.036	0.062
CV (%)	ضریب تغییرات	-	8.9	14.37	7.82	9.74

ns, * و ** به ترتیب غیره معنی دار، معنی دار در سطح ۵ و ۱ درصد

ns, * and ** Significant at 5% and 1% probability level

و تلقیح با ازتو باکتر مشاهده شد که با شاهد اختلاف معنی داری نداشت. در مورد کلروفیل b نیز کمترین مقدار (۰/۵۷ میلی گرم بر گرم) از کاربرد سودوموناس در رقم گندبد حاصل شد و تلقیح باکتری در رقم کریم دارای اثر معنی دار نبود.

نتایج اثر متقابل باکتری در رقم نیز نشان داد که بین تیمارهای باکتری در رقم کریم تفاوت معنی دار نبود ولی در رقم گندبد اختلاف وجود داشته و بالاترین میزان کلروفیل a (۶/۳۱ میلی گرم بر گرم و کل (۷ میلی گرم بر گرم) از این رقم

برتری رقم کریم نسبت به رقم گنبد احتمالاً به دلیل خصوصیات زودرس بودن ژنتیکی رقم کریم و سریع تر بودن Javad Zarrin and Motsharezadeh, (2015). علاوه بر این ارقام مختلف گندم مقاومت معنی داری در تجمع کادمیوم در اندام خود دارند چون گیاهان در شرایط تنفس با ترشح سیدروفور به منظور جبران کمبود مواد غذایی کادمیوم بیشتری جذب می نمایند (Javad Zarrin et al., 2017). احتمالاً حساس بودن رقم گنبد به خاطر جذب فلزات سنگین بیشتر باشد که خود عامل تولید اکسیژن فعال بیشتر و به تبع آن تنفس های اکسیدانتیو و تخریب پروتئین های فتوسترنی و کاهش میزان کلروفیل ها است (Babady et al., 2018; Karimzadeh et al., 2019; sharifi et al., 2017).

آزمایش ها نشان دادند اثر باکتری در ژنوتیپ در غالب صفات معنی دار نیست؛ به عبارت دیگر اثرات مشاهده شده در صفات مورد مطالعه مستقل از ژنوتیپ های مورد مطالعه است (جدول ۳). اثر متقابل باکتری بر کادمیوم بر کلروفیل a و کلروفیل b نشان داد کلروفیل b متأثر از تنفس حاصل از کادمیوم نگشت و در کل مقدار کلروفیل کل تغییری نکرد. همچنین نتایج نشان داد که غلظت های کادمیوم موجب کاهش شدید رنگیزه های اصلی شده (۶۲، ۵۹ و ۵۹) درصد به ترتیب کلروفیل a، b و کل) و کاربرد باکتری موجب کاهش تأثیرات منفی کادمیوم شد به طوری که در اثر ازتوباکتر تغییرات به ۴۲، ۳۸ و ۳۶ و با سودوموناس تغییرات به ۳۲، ۳۶ و ۳۵ درصد رسید (جدول ۴).

جدول ۲. مقایسه میانگین مقدار رنگیزه های فتوسترنی تحت تأثیر تنفس کادمیوم، رقم و باکتری های محرك رشد

Table 2. Comparison of the average amount of photosynthetic pigments under the influence of cadmium stress, cultivar and growth-promoting bacteria

باکتری Bacteria	تیمارها Treatments	کلروفیل a				کلروفیل b			
		Chlorophyll a (mg g ⁻¹)				Chlorophyll b (mg g ⁻¹)			
		24h	48h	72h	stem stage	24h	48h	72h	stem stage
باکتری Bacteria	Control	شاهد	4.23 ^a	7.49 ^a	5.61 ^a	5.43 ^a	0.73 ^a	2.61 ^a	0.76 ^a
	Azotobacter	ازتوباکتر	4.09 ^a	7.22 ^a	5.50 ^{ab}	5.56 ^a	0.85 ^a	2.25 ^{ab}	0.70 ^b
	Pseudomonas	سودوموناس	4.17 ^a	7.51 ^a	4.99 ^b	5.38 ^a	0.87 ^a	2.03 ^b	0.66 ^b
ژنوتیپ Genotype	Karim	کریم	3.98 ^a	7.88 ^a	4.71 ^b	5.40 ^a	0.83 ^a	2.55 ^a	0.73 ^a
	Gonbad	گنبد	4.34 ^a	6.94 ^b	6.02 ^a	5.51 ^a	0.81 ^a	2.04 ^b	0.68 ^b
	0		5.47 ^a	10.61 ^a	6.68 ^a	6.55 ^a	1.17 ^a	3.52 ^a	0.89 ^a
کادمیوم Cadmium (µM)	75		4.49 ^b	8.27 ^b	6.09 ^a	5.77 ^b	0.88 ^b	2.61 ^b	0.73 ^b
	150		3.76 ^c	6.33 ^c	5.08 ^b	4.96 ^c	0.72 ^b	1.81 ^c	0.63 ^c
	300		2.95 ^d	4.42 ^d	3.61 ^c	4.54 ^c	0.49 ^c	1.24 ^d	0.56 ^c

Table 2. Continued

جدول ۲. ادامه

باکتری Bacteria	تیمارها Treatments	کلروفیل کل			
		Total chlorophyll (mg g ⁻¹)			
		24h	48h	72h	stem stage
باکتری Bacteria	Control	شاهد	4.96 ^a	10.10 ^a	6.37 ^a
	Azotobacter	ازتوباکتر	4.94 ^a	9.47 ^a	6.20 ^a
	Pseudomonas	سودوموناس	5.03 ^a	9.55 ^a	5.56 ^b
ژنوتیپ Genotype	Karim	کریم	4.81 ^a	10.43 ^a	5.44 ^b
	Gonbad	گنبد	5.15 ^a	8.98 ^b	6.70 ^a
	0		6.64 ^a	14.14 ^a	7.57 ^a
کادمیوم Cadmium (µM)	75		5.37 ^b	10.88 ^b	6.82 ^b
	150		4.46 ^c	8.14 ^c	5.72 ^c
	300		3.44 ^d	5.66 ^d	4.17 ^d

حروف متفاوت در هر ستون نشان دهنده اختلاف معنی دار توسط آزمون داتکن در سطح ۵ درصد می باشد

The presence of different letters in each column indicates a significant difference by the Duncan test at the 5% level

جدول ۳. مقایسه میانگین اثر متقابل باکتری × ژنوتیپ بر رنگیزه‌های اصلی در زمان ۷۲ ساعت

Table 3. Comparison of mean bacterial × genotype interactions on major pigments over 72 hours

ژنوتیپ Genotype	بакتری ^a Bacteria	باکتری ^b	کلروفیل کل Total chlorophyll		
			کلروفیل a Chlorophyll a	کلروفیل b Chlorophyll b	mgg ⁻¹
کریم Karim	Control	شاهد	4.64 ^b	0.74 ^a	5.38 ^b
	Azotobacter	ازتوباکتر	4.69 ^b	0.70 ^a	5.39 ^b
	Pseudomonas	سودوموناس	4.77 ^b	0.74 ^a	5.52 ^b
گنبد Gonbad	Control	شاهد	6.56 ^a	0.77 ^a	7.34 ^a
	Azotobacter	ازتوباکتر	6.30 ^a	0.69 ^a	6.99 ^a
	Pseudomonas	سودوموناس	5.19 ^b	0.56 ^b	5.76 ^b

حروف متفاوت در هر ستون نشان‌دهنده اختلاف معنی‌دار توسط آزمون دانکن در سطح ۵ درصد می‌باشد.

The presence of different letters in each column indicates a significant difference by the Duncan test at the 5% level

جدول ۴. مقایسه میانگین اثر باکتری × کادمیوم بر کلروفیل a (۲۴ و ۷۲ ساعت) و کلروفیل کل (۷۲ ساعت).

Table 4. Comparison of the mean effect of the bacterium × Cadmium on chlorophyll a (24 and 72 h) and total chlorophyll (72 h)

بакتری ^a Bacteria	کادمیوم Cadmium	(24h) a		کلروفیل کل (72h) Total chlorophyll	
		μM		μgg ⁻¹	
شاهد Control	۰	5.67 ^a	7.09 ^a	8.04 ^a	
	75	5.53 ^a	7.19 ^a	7.98 ^{ab}	
	150	3.58 ^c	5.47 ^{c-e}	6.18 ^{d-f}	
	300	2.15 ^d	2.66 ^h	3.25 ⁱ	
ازتوباکتر Azotobacter	۰	5.66 ^a	6.74 ^{ab}	7.69 ^{a-c}	
	75	3.78 ^c	5.92 ^{b-d}	6.64 ^{c-e}	
	150	3.63 ^c	5.11 ^{d-f}	5.69 ^{e-g}	
	300	3.28 ^c	4.24 ^{fg}	4.77 ^{gh}	
سودوموناس Pseudomonas	۰	5.09 ^{ab}	6.19 ^{a-c}	6.97 ^{b-d}	
	75	4.15 ^{bc}	5.15 ^{c-f}	5.84 ^{ef}	
	150	4.00 ^c	4.66 ^{e-g}	5.28 ^{f-h}	
	300	3.42 ^c	3.92 ^g	4.48 ^h	

حروف متفاوت در هر ستون نشان‌دهنده اختلاف معنی‌دار توسط آزمون دانکن در سطح ۵ درصد می‌باشد.

The presence of different letters in each column indicates a significant difference by the Duncan test at the 5% level

انرژی، جذب و انتقال نیتروژن به برگ‌ها را افزایش می‌دهد و در نتیجه موجب ساخت مقادیر بیشتر کلروفیل می‌گردد (Yousefpour et al., 2014). احتمالاً باکتری سودوموناس با افزایش جذب عناصر کم مصرف از طریق تحریک فعالیت پمپ پروتئینی ATPase و تبدیل فسفات نامحلول به فرم قابل استفاده در گیاه موجب ساخت مقادیر بیشتر کلروفیل گردید (Karimi et al., 2011; Satyaprakash et al., 2017).

بیشترین میزان رنگیزه‌های اصلی از شاهد و کمترین مقدار از بالاترین غلظت کادمیوم به دست آمد در توجیه این امر می‌توان گفت چون در شرایط تنفس، گلوتامات پیش ماده

طبق داده‌های جدول ۲ مشخص شد میزان کلروفیل b در ۲۴ ساعت در حضور باکتری سودوموناس از برتری نسبی نسبت به دو تیمار دیگر برخوردار بود. حضور باکتری مانع از آن شده است که مقدار کلروفیل نسبت به شاهد به طور معنی‌داری کاهش پیدا کند (جدول ۲) که با نتایج تحقیق ژ و همکاران (Zhu et al., 2014) و صنایعی و همکاران (Sanayei et al., 2019) مطابقت دارد. در میان باکتری‌ها، جنس‌های متعلق به سودوموناس به دلیل توانایی بالا در حل کردن فسفات نامحلول معنی‌داری جذب افزایش گیاه می‌شود (Fallah NosratAbad and Shariati, 2014; Ebrahimi et al., 2018).

تعدیل کنندگی اثرات منفی کادمیوم در غلظت‌های بالا را بر عهده دارد (جدول ۴) باکتری‌ها با کاهش جذب فلزات سنگین از محیط و نیز استفاده از این فلزات برای اهداف تغذیه‌ای Rajkumar et al., 2012; Kahrarian and Taran, 2019 به داده‌های مقایسه میانگین مشخص شد (جدول ۳). مقدار کلروفیل کل در رقم گنبد نسبت به باکتری ازتوباکتر واکنش مثبت نشان می‌دهد. دلیل این امر انتباط شرایط بهینه فعالیت باکتری ازتوباکتر فعلیت در محیط‌های وسیع از جمله محیط‌های آبی (در حد ظرفیت مزرعه)، خاک و سطح وسیع Khosravi, (2014).

مشترک ساخت کلروفیل و پرولین است، احتمالاً پرولین بیشتری به عنوان تنظیم‌کننده اسمزی ساخته می‌شود و درنتیجه ساختن کلروفیل کاهش می‌یابد (Mosavi et al., 2018). جدول ۴ نشان داد مقدار کلروفیل a, کلروفیل b و کلروفیل کل با افزایش غلظت کادمیوم نسبت عکس داشت این امر حاکی از آن است که کلروفیل از حساسیت بالاتری نسبت به تنفس کادمیوم برخوردار است که این نتایج با کارهای Xue et al., 2013 در سویا، با کارهای Yaghoubian et al., 2016 (در گیاه) (Tabibian et al., 2019) خرفه و سحر طبیبان و همکاران (Asareh and Asareh, 2009) مطابقت دارد. کاهش رنگیزه‌ها در حضور کادمیوم را به افزایش سطوح اکسیژن واکنش‌گر مربوط می‌دانند (Shariati, 2009).

جدول ۵. تجزیه واریانس رنگیزه‌های کمکی تحت تنفس کلرید کادمیوم و باکتری‌های محرك رشد گیاهی در دو رقم گندم نان.

Table 5. Analysis of variance of auxiliary pigments under cadmium chloride stress and plant growth-promoting bacteria in two bread wheat cultivars

S.O.V	منابع تغییرات	df	Carotenoids			کارتنوئیدها			فلاؤنوئیدها		
			24h	48h	72h	stem stage	24h	48h	72h	stem stage	
Genotype (G)	ژنوتیپ	1	0.021 ns	0.118 ns	0.0004 ns	0.009 ns	0.028 ns	0.636 ns	0.644 **	1.00 **	
Bacteria (B)	باکتری	2	0.036 **	0.006 ns	0.004 ns	0.008 ns	2.422 **	2.538 **	0.630 **	0.322 **	
Cadmium (C)	کادمیوم	3	0.123 **	0.273 **	0.077 **	0.070 **	3.224 **	4.377 **	2.174 **	1.439 **	
G×B	باکتری × ژنوتیپ	2	0.046 **	0.176 ns	0.013 *	0.002 ns	1.435 **	0.392 ns	1.209 **	1.596 **	
G×C	ژنوتیپ × کادمیوم	3	0.014 ns	0.040 ns	0.001 ns	0.002 ns	0.034 ns	0.081 ns	0.062 ns	0.114 *	
B×C	باکتری × کادمیوم	6	0.004 ns	0.009 ns	0.0005 ns	0.001 ns	0.024 ns	0.113 ns	0.062 ns	0.018 ns	
G×B×C	ژنوتیپ × باکتری × کادمیوم	6	0.001 ns	0.010 ns	0.003 ns	0.005 ns	0.031 ns	0.146 ns	0.042 ns	0.022 ns	
Error	خطا	48	0.006	0.028	0.003	0.004	0.089	0.298	0.048	0.058	
CV (%)	ضریب تغییرات	-	11.44	17.73	7.22	7.97	9.75	16.30	5.72	6.71	

ns و * و ** به ترتیب غیره معنی دار، معنی دار در سطح ۵ و ۱ درصد

ns, * and ** Significant at 5% and 1% probability levels

ساعت در سطح پنج درصد معنی داری نشان داد (جدول ۵ و ۶) بیشترین و کمترین مقدار کارتنوئیدها در رقم کریم از شاهد (۰/۶۴ میلی‌گرم بر گرم) و ازتوباکتر (۰/۴۰ میلی‌گرم بر گرم) به دست آمد (جدول ۷). بیشترین مقدار فلاؤنوئیدها از شاهد کریم (۱۶/۲۸ میکروگرم بر گرم) و کمترین مقدار از گنبد شاهد (۹/۶۴ میکروگرم بر گرم) به دست آمد؛ اما در

رنگیزه‌های کمکی، عملکرد کوانتمومی و شاخص سبزینگی (SPAD)

نتایج جدول ۷ نشان داد اثر متقابل رقم در باکتری در مورد کارتنوئیدها در زمان ۲۴ ساعت، فلاؤنوئیدها در زمان‌های ۲۴، ۷۲ و مرحله ساقه دهی در سطح یک درصد معنی دار شد و در مورد کارتنوئیدها در ۷۲ ساعت و عملکرد کوانتمومی در ۴۸

و سودوموناس در رقم گنبد مشاهده شد این در حالی بود که ۷۲ ساعت و مرحله ساقه‌دهی، تلقيق بر فلاونوئیدها رقم کریم بی‌اثر بود ولی هر دو تیمار موجب افزایش معنی‌دار در رقم گنبد شدند (جدول ۸). مقایسه میانگین اثر متقابل رقم در کادمیوم در مرحله ساقه‌دهی در فلاونوئیدها نیز نشان داد شبیه تغییرات این صفت در رقم کریم شدیدتر از رقم گنبد بود بهطوری که کادمیوم در غلظت ۳۰۰ میکرومولار موجب کاهش ۳۶ درصدی فلاونوئیدها در رقم گنبد و ۲۳ درصدی در رقم کریم شد (شکل ۱).

مقایسه میانگین مربوط به عملکرد کوانتموی در ۴۸ ساعت نیز مشخص کرد که بالاترین عملکرد کوانتموی در هر دو رقم مربوط به استفاده از ازتوباکتر و سودوموناس بود که با یکدیگر اختلاف معنی‌داری نداشتند (جدول ۸). مقایسه میانگین‌ها نیز نشان داد که تنفس کادمیوم موجب افت عملکرد کوانتموی می‌شود که این افت در رقم گنبد شدیدتر از رقم کریم بود بهطوری که تغییرات در رقم کریم ۴۴ و در رقم گنبد ۳۰ درصد بود (شکل ۱).

مورد عملکرد کوانتموی بیشترین مقدار در حضور باکتری‌ها به دست آمد (جدول ۷). اثر متقابل باکتری در کادمیوم در مورد عملکرد کوانتموی در زمان‌های ۴۸ و ۷۲ ساعت و شاخص سبزینگی در سبزینگی در زمان‌های ۲۴ و ۷۲ ساعت بعد از اعمال تیمار در سطح احتمال یک درصد معنی‌دار بود. شاخص سبزینگی در ۴۸ ساعت بعد از اعمال تیمار در سطح ۵ درصد تحت تأثیر باکتری در کادمیوم قرار گرفت (جدول ۶). اثر متقابل رقم در کادمیوم بر فلاونوئیدها در مرحله ساقه‌دهی، عملکرد کوانتموی در ۸ ساعت و شاخص سبزینگی در ۷۲ ساعت در سطح یک درصد معنی‌دار شد (جدول ۶).

مقایسه میانگین اثر متقابل رقم در باکتری نیز نشان داد، بالاترین میزان کارتنتوئیدها (۰/۶۷ میلی‌گرم بر گرم) در ۲۴ ساعت از رقم گنبد و تلقيق با ازتوباکتر حاصل شد این در حالی بود که در زمان ۷۲ ساعت تیمار شاهد در رقم کریم بالاترین میزان کارتنتوئیدها (۰/۶۱ میلی‌گرم بر گرم) را به خود اختصاص داد و با تیمار سودوموناس اختلاف معنی‌دار نداشت (جدول ۸). همچنین مشخص شد که بالاترین میزان فلاونوئیدها در زمان ۲۴ ساعت مربوط به شاهد در رقم کریم

جدول ۶. تجزیه واریانس عملکرد کوانتموی و شاخص سبزینگی تحت تنفس کلرید کادمیوم و باکتری‌های محرک رشد در دو رقم گندم نان
Table 6. Analysis of variance of quantum yield and SPAD under cadmium chloride stress and growth-promoting bacteria in two bread wheat cultivars.

S.O.V	منابع تغییرات	df	عملکرد کوانتموی				SPAD				شدت سبزینگی
			24h	48h	72h	stem stage	24h	48h	72h	stem stage	
Genotype (G)	ژنتیک	1	0.029 ns	0.021 **	0.0009 ns	0.014 **	0.015 ns	0.071 ns	0.012 ns	0.032 ns	
Bacteria (B)	باکتری	2	0.050 **	0.043 **	0.038 **	0.008 **	0.571 **	0.348 **	0.348 **	0.623 **	
Cadmium (C)	کادمیوم	3	0.106 **	0.127 **	0.170 **	0.112 **	1.159 **	0.187 **	0.482 **	0.509 **	
G×B	باکتری × ژنتیک	2	0.0007 ns	0.007 *	0.0004 ns	0.001 ns	0.100 ns	0.055 ns	0.019 ns	0.024 ns	
G×C	ژنتیک × کادمیوم	3	0.0038 ns	0.005 *	0.0009 ns	0.0006 ns	0.043 ns	0.076 ns	0.098 *	0.006 ns	
B×C	باکتری × کادمیوم	6	0.006 ns	0.009 **	0.008 **	0.002 ns	0.135 **	0.103 **	0.136 **	0.028 ns	
G×B×C	ژنتیک × باکتری × کادمیوم	6	0.002 ns	0.003 ns	0.001 ns	0.001 ns	0.054 ns	0.049 ns	0.074 *	0.033 ns	
Error	خطا	48	0.003	0.001	0.0008	0.001	0.028	0.030	0.031	0.041	
	ضریب تغییرات		6.62	4.83	3.73	4.74	7.54	7.45	8.52	11.14	
	CV (%)										

ns و * و ** به ترتیب غیره معنی‌دار، معنی‌دار در سطح ۵ و ۱ درصد

ns, * and ** Significant at 5% and 1% probability levels,

جدول ۷. مقایسه میانگین اثرات اصلی رقم، باکتری و کادمیوم بر روی رنگیزه‌های کمکی، عملکرد کوانتمویی و شاخص سبزینگی

Table 7. Comparison of mean main effects of cultivar, bacterium and cadmium on auxiliary pigments, quantum yield and SPAD.

تیمارها Treatments		كارتنوئیدها (mgg ⁻¹)				فلاؤنوئیدها (μgg ⁻¹)			
		24h	48h	72h	stem stage	24h	48h	72h	stem stage
باکتری Bacteria	Control	0.56 ^a	0.98 ^a	0.62 ^a	0.72 ^a	7.70 ^b	9.30 ^b	13.65 ^b	12.47 ^b
	Azotobacter	0.46 ^b	0.93 ^a	0.63 ^a	0.66 ^a	10.90 ^a	13.21 ^a	15.27 ^a	13.54 ^a
	Pseudomonas	0.48 ^b	0.95 ^a	0.58 ^a	0.67 ^a	10.71 ^a	12.63 ^a	15.79 ^a	13.72 ^a
ژنوتیپ Genotype	Karim	کریم	0.48 ^a	1.04 ^a	0.61 ^a	0.70 ^a	9.60 ^a	12.51 ^a	15.63 ^a
	Gonbad	گند	0.52 ^a	0.87 ^b	0.61 ^a	0.66 ^a	9.94 ^a	10.92 ^b	14.18 ^b
کادمیوم Cadmium (μM)	0		0.39 ^c	0.73 ^c	0.50 ^d	0.65 ^b	13.15 ^a	16.03 ^a	17.75 ^a
	75		0.65 ^a	1/26 ^a	0.73 ^a	0.79 ^a	10.31 ^b	12.35 ^b	16.15 ^b
	150		0.52 ^b	1.03 ^b	0.65 ^b	0.73 ^a	8.76 ^c	10.62 ^b	13.99 ^c
	300		0.43 ^c	0.80 ^c	0.56 ^c	0.56 ^c	6.86 ^d	7.85 ^c	11.72 ^d

Table 7. Continued

جدول ۷. ادامه

تیمارها Treatments		عملکرد کوانتمویی Quantum yield				SPAD			
		24h	48h	72h	stem stage	24h	48h	72h	stem stage
باکتری Bacteria	Control	شاهد	0.67 ^c	0.62 ^b	0.58 ^b	0.55 ^b	4.46 ^b	5.00 ^b	3.89 ^b
	Azotobacter	ازتوباکتر	0.75 ^b	0.73 ^a	0.68 ^a	0.58 ^{ab}	5.38 ^a	6.01 ^a	4.60 ^a
	Pseudomonas	سودوموناس	0.82 ^a	0.73 ^a	0.68 ^a	0.60 ^a	5.57 ^a	5.70 ^a	4.65 ^a
ژنوتیپ Genotype	Karim	کریم	0.78 ^a	0.72 ^a	0.65 ^a	0.60 ^a	5.25 ^a	5.68 ^a	4.37 ^a
	Gonbad	گند	0.71 ^b	0.66 ^b	0.64 ^a	0.55 ^b	5.02 ^a	5.46 ^b	4.39 ^a
کادمیوم Cadmium (μM)	0		0.90 ^a	0.86 ^a	0.79 ^a	0.70 ^a	6.22 ^a	5.92 ^a	5.19 ^a
	75		0.78 ^b	0.74 ^b	0.72 ^b	0.64 ^b	5.55 ^b	5.79 ^a	4.53 ^b
	150		0.71 ^c	0.63 ^c	0.63 ^c	0.53 ^c	5.09 ^b	5.61 ^a	4.15 ^b
	300		0.59 ^d	0.54 ^d	0.44 ^d	0.43 ^d	3.68 ^c	4.96 ^b	3.65 ^c

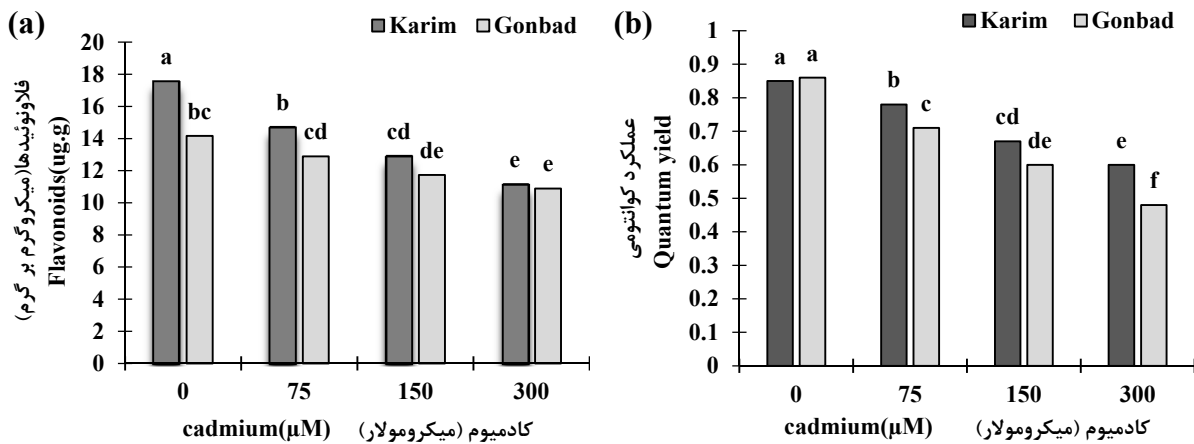
جدول ۸. مقایسه میانگین اثر متقابل رقم در باکتری بر رنگیزه‌های کمکی و عملکرد کوانتمویی

Table 8. Comparison of the mean interaction of cultivar in bacteria on auxiliary pigments and quantum yield

تیمارها Treatments		كارتنوئیدها (mgg ⁻¹)			فلاؤنوئیدها (μgg ⁻¹)			عملکرد کوانتمویی Quantum yield
		24 h	72h	stem stage	24 h	72h	48h	
باکتری Bacteria	Control	شاهد	0.61 ^a	0.64 ^{ab}	9.24 ^c	16.28 ^a	15.30 ^a	0.62 ^d
	Azotobacter	ازتوباکتر	0.40 ^d	0.58 ^{bc}	9.56 ^c	15.05 ^a	13.61 ^b	0.79 ^a
	Pseudomonas	سودوموناس	0.43 ^{cd}	0.59 ^{bc}	9.99 ^c	15.55 ^a	13.30 ^b	0.76 ^a
ژنوتیپ Genotype	Control	شاهد	0.51 ^{bc}	0.59 ^{bc}	6.17 ^d	11.03 ^b	9.64 ^c	0.62 ^{cd}
	Azotobacter	ازتوباکتر	0.51 ^{bc}	0.67 ^a	12.24 ^a	15.49 ^a	13.47 ^b	0.67 ^{cb}
	Pseudomonas	سودوموناس	0.53 ^{ab}	0.57 ^c	11.43 ^{ab}	16.02 ^a	14.15 ^{ab}	0.70 ^b

حروف متفاوت در هر ستون نشان‌دهنده اختلاف معنی دار توسط آزمون دانکن در سطح ۵ درصد می‌باشد

The presence of different letters in each column indicates a significant difference by the Duncan test at the 5% level



شکل ۱. مقایسه میانگین اثر متقابل رقم در کادمیوم بر فلاونوئیدها در ساقه هی (a) و عملکرد کوانتومی در ۴۸ ساعت (b)

Fig. 1. Comparison of the mean interaction of the number in the medium on flavonoids (a) and quantum yield (b)

میزان ترکیبات فلاونوئیدها در این مطالعه نیز می‌تواند به علت سنتز این ترکیبات به سایر ترکیبات فنولی از جمله لیگنین باشد (Matsouka et al., 2011).

وزن خشک ساقه، عملکرد، وزن دانه و تعداد دانه
از بین اثرات اصلی تنشزا بر روی وزن خشک ساقه، عملکرد، وزن دانه و تعداد دانه اثر کادمیوم بر روی این صفات (به جز تعداد دانه) در سطح یک درصد معنی‌دار شد. اثر متقابل رقم در باکتری بر روی وزن خشک ساقه (در سطح یک درصد) تعداد دانه (در سطح پنج درصد) معنی‌دار و در بقیه موارد معنی‌داری مشاهده نشد (جدول ۹).

داده‌های حاصل از مقایسه میانگین حاکی از برتری رقم کریم نسبت به رقم گنبد است. میانگین وزن خشک ساقه رقم کریم ۱/۲۹ گرم و رقم گنبد ۱/۲۶ گرم و میانگین عملکرد دانه تک بوته رقم کریم ۱۹۵/۵ میلی گرم در بوته و رقم گنبد ۱۵۰ میلی گرم در بوته بود. میانگین وزن دانه سبله اصلی رقم کریم ۳۰/۲۲ میلی گرم و در رقم گنبد ۲۱/۸۸ میلی گرم و میانگین تعداد دانه رقم کریم ۶/۸۵ و رقم گنبد ۶/۵۲ بود (جدول ۱۰). در حضور از توپاکتر بیشینه تمام صفات مذکور مشاهده گردید (جدول ۱۲). در مورد وزن خشک ساقه، از توپاکتر بیشتر از سودوموناس بر روی رقم کریم مؤثر بوده است و تعداد دانه رقم کریم در حضور باکتری‌ها نسبت به شاهد افزایش بیشتری نشان داد (جدول ۱۱). این امر احتمالاً به دلیل مقاومت بالاتر رقم کریم در مقابل سمیت کادمیوم می‌باشد و نیز احتمالاً به دلیل کارایی بیشتر آنزیم‌های چرخه کربن این رقم می‌باشد (Javadzarrin et al., 2017).

کاهش مقدار کارتوئیدها احتمالاً به دلیل نقش آن‌ها در فرونشانی غیرفتوصیمیایی کلروفیل‌های برانگیخته باشد که موجبات به هم ریختگی ساختار این رنگدانه‌ها و نهایتاً کاهش میزان این رنگیزه‌ها را فراهم می‌آورد (Rasouli, 2016). به نظر می‌رسد کادمیوم با افزایش تجمع ROS و تخریب فتوسیستم II به عنوان عامل تخریب رنگدانه‌ها و سایر ماکرومولکول‌ها عمل می‌کند (Sadaghiani et al., 2011) و نیز فرونشانی غیرفتوصیمیایی کلروفیل‌های برانگیخته می‌تواند از دلایل دیگر تخریب و کاهش رنگیزه‌های کمکی باشد. در این پژوهش نقش کادمیوم به عنوان عامل تنشزا در مورد تمام صفات فیزیولوژیکی مشاهده شد و به غیریاز کارتوئیدها، بقیه صفات را کاهش داد. کادمیوم در آوند آبکش از تحرک بالایی برخوردار است و لذا با تجمع در اندام هوایی رنگیزه‌های فتوسنتزی را متأثر می‌سازد (Hussain et al., 2015).

افزایش کارتوئیدها در گیاه زوفا (Rasam, et al., 2014) و بابونه (Lotfollahi, et al., 2015) نیز گزارش گردیده است. به دلیل نقش کارتوئیدها در حفاظت از دستگاه فتوسنتزی از آسیب‌های رادیکال‌های آزاد و غیر فعال سازی اکسیژن تکی، افزایش آن احتمالاً دلیلی بر مقابله با تنش باشد چراکه کارتوئیدها در چرخه گزان توفیل، با مصرف NADPH از کلروفیل‌ها در مقابل فتوکسیداسیون مقاومت می‌کنند (Koyro, 2006). فلاونوئیدها به عنوان آنتی‌اکسیدان غیرآنزیمی، نقش مهمی به عنوان کلاته‌کننده فلزات و آنتی‌اکسیدان دارند و در ایجاد تحمل به فلزات سنگین نقش قابل توجهی ایفا می‌کنند (Kovacic et al., 2010). کاهش

1998 al., نیز گزارش شده است. توقف رشد ناشی از کادمیوم مربوط به ایجاد اختلالات تغذیه‌ای و برهم زدن تعادل آبی گیاه و نیز اثرات بازدارنده‌ی این عنصر بر تقسیم سلولی Kabata-Pendias و کاهش سرعت اتساع سلول‌ها است (and Pendias, 2001).

نتایج حاصل از اثر کادمیوم بر روی عملکرد، وزن خشک، وزن دانه و تعداد دانه نشان داد که بیشینه میزان صفات از شاهد و کمینه از بالاترین غلظت کادمیوم به دست آمد (جدول ۱۰). کاهش وزن خشک اندام هوایی در حضور کادمیوم در ارقام Lagriffoul, et و ذرت (Liu et al., 2010) مختلف برج (and Pendias, 2001).

جدول ۹. تجزیه واریانس وزن خشک، عملکرد، وزن دانه و تعداد دانه تحت تنشی کلرید کادمیوم و اثر باکتری محرک در دو رقم گندم نان
Table 9. Differential analysis of dry weight, yield, grain weight and number of grains under stress of cadmium chloride and the effect of stimulating bacteria in two cultivars of wheat bread

S.O.V	منابع تغییرات	df	وزن خشک ساقه Dry shoot weight	عملکرد Yeild	وزن دانه Grain weight	تعداد دانه Number of grains
Genotype (G)	ژنوتیپ	1	0.001ns	51.59**	11.84**	0.0861 ns
Bacteria (B)	باکتری	2	0.099**	16.24**	0.516*	0.148 ns
Cadmium (C)	کادمیوم	3	0.124**	33.45**	1.094**	0.454*
G×B	باکتری × ژنوتیپ	2	0.089**	2.64ns	0.408 ns	0.396*
G×C	ژنوتیپ × کادمیوم	3	0.004ns	3.82ns	0.191ns	0.087 ns
B×C	باکتری × کادمیوم	6	0.008ns	0.827ns	0.064ns	0.016 ns
G×B×C	ژنوتیپ × باکتری × کادمیوم	6	0.002ns	0.684ns	0.082ns	0.004 ns
Error	خطا	48	0.009	2.16	0.116	0.110
CV (%)	ضریب تغییرات	-	8.49	11.35	6.74	12.97

ns, * and ** Significant at 5% and 1% probability levels و * و ** به ترتیب غیره معنی‌دار، معنی‌دار در سطح ۵ و ۱ درصد ns

جدول ۱۰. مقایسه میانگین اثرات اصلی باکتری، ژنوتیپ و کادمیوم در صفات وزن خشک، عملکرد، وزن دانه و تعداد دانه
Table 10. Comparison of average dry weight, yield, grain weight and number of grains under stress of cadmium chloride and the effect of stimulating bacteria in two cultivars of bread wheat

تیمارها Treatments	وزن خشک ساقه Dry shoot weight	عملکرد Yeild	وزن صد دانه Grain weight one hundred grains	تعداد دانه Number of grains
	g	mg per plant	mg	
Control				
باکتری Bacteria	شاهد	1.19 ^a	148.7 ^b	24.46 ^b
	Azotobacter	1.44 ^a	189.6 ^a	26.96 ^a
	سودوموناس	1.21 ^b	179.9 ^a	26.75 ^a
ژنوتیپ Genotype	Karim	1.29 ^a	195.5 ^a	30.22 ^a
	Gonbad	1.27 ^a	150.0 ^b	21.88 ^b
کادمیوم Cadmium (μM)	0	1.46 ^a	195.0 ^a	28.61 ^a
	75	1.36 ^{ab}	193.4 ^a	26.66 ^{ab}
	150	1.24 ^b	179.5 ^a	26.22 ^b
	300	1.05 ^c	123.0 ^b	22.72 ^c

حروف متفاوت در هر ستون نشان‌دهنده اختلاف معنی‌دار توسط آزمون دانکن در سطح ۵ درصد می‌باشد

The presence of different letters in each column indicates a significant difference by the Duncan test at the 5% level

جدول ۱۱. مقایسه میانگین اثر متقابل باکتری × زنوتیپ بر وزن خشک ساقه و تعداد دانه

Table 11. Comparison of the mean interaction of bacteria, genotype on dry stem weight and number of seeds

زنوتیپ	باکتری	وزن خشک ساقه	تعداد دانه
Genotype	Bacteria	Dry shoot Weight (g)	Number of grains
کریم Karim	Control	شاهد	1.08 ^c 5.35 ^b
	Azotobacter	ازتوباکتر	1.61 ^a 7.14 ^a
	Pseudomonas	سودوموناس	1.20 ^{bc} 7.10 ^a
گند Gonbad	Control	شاهد	1.30 ^b 7.22 ^a
	Azotobacter	ازتوباکتر	1.28 ^b 6.86 ^a
	Pseudomonas	سودوموناس	1.21 ^{bc} 6.48 ^{ab}

حروف متفاوت در هر ستون نشان‌دهنده اختلاف معنی‌دار توسط آزمون دانکن در سطح ۵ درصد می‌باشد

The presence of different letters in each column indicates a significant difference by the Duncan test at the 5% level

وزن خشک، وزن دانه، تعداد دانه و عملکرد گردید. کاربرد باکتری محرك رشد ازتوباکتر بهترین نتیجه را داشت طوری که در اکثر صفات مورد بررسی تأثیرات تنفس حاصل از اثر کادمیوم را بهبود بخشید؛ بنابراین می‌توان از ازتوباکتر به عنوان باکتری کاهنده اثرات تنفس ناشی از حضور کادمیوم در گندم رقم کریم استفاده نمود.

نتیجه‌گیری نهایی

نتایج نشان داد که کادمیوم موجب کاهش رنگیزه‌های فتوسنتزی، افزایش رنگیزه‌های کمکی (مانند کارتونوئیدها) و کاهش وزن خشک، عملکرد، وزن دانه و تعداد دانه در گیاهان گندم موردمطالعه می‌گردد. حضور باکتری‌های محرك رشد گیاهی موردمطالعه موجب بهبود سیستم فتوسنتزی،

منابع

- Akbari, Sh., Cheraghi, M., 2019. The concentration of heavy metals Zn, Pb and Cd in rice supplied in the consumer market in Hamadan. Journal of Environmental Science and Technology. 21(8), 13-22. [In Persian with English summary].
- Alahbakhsh, E., Sorousmehr, A.R., Ebrahimi, O., Shahraki, N., 2018. Accumulation potential and tolerance to cadmium pollution and the effect of silicon on some physiological indices of *Portulaca oleracea*. Journal of Plant Research (Iranian Journal of Biology). 31(2), 235-247. [In Persian with English summary].
- Amani, A., 2008. Cadmium induced changes in pigment content, ion uptake, proline content and phosphoenol pyruvate carboxylase activity in *Triticum aestivum* seedlings. Australian Journal of Science. 2, 57-62.
- Asadi rahmani, H., Khavazi, K., Asgharzadeh, A., Rejali, F., Afshari, M., 2012. Biofertilizer in Iran: Opportunities and challenges. Iranian Journal of Soil and Waters Sciences. 26,77-87. [In Persian with English Summary].
- Asareh, M.H., Shariat, A., 2009. Salinity resistance in germination stage and growth stage in some Eucalyptus species. Journal of Agricultural Science and Technology. 15, 145-157.
- Borang, Sh., Jahanbakhsh Gadeh Kahriz, S., Ebadi, A., 2019. Comparison of the effect of cadmium chloride application and foliar application of iron and zinc on biochemical properties of wheat in terms of hydroponic culture. Journal of Plant Process and Function. 8, 25-38. [In Persian with English Summary].
- Chen, S., Xu, B., Liu, L., Luo, Y., Zhou, H., Chen, W., Shen, T., Han, X., Kontes, C.D., Huang S., 2011. Cadmium induction of reactive oxygen species activates the mTOR pathways, leading to neuronal cell death. Free Radical Biology and Medicine. 50, 624–632.
- Dere, S.H., Gunes, T., Sivaci, R., 1998. Spectrophotometric determination of

- chlorophyll-a, b and total carotenoid contents of some algae species using different solvents. *Turkish Journal of Botany* 22, 13-17.
- Dikkaya, T., Ergun, N., 2014. Effects of cadmium and zinc interactions on growth parameters and activities of ascorbate peroxidase on maize (*Zea mays L.*). *European Journal of Experimental Biology*. 4, 288-295.
- Ebrahimi, M., Safari-sinegani, A.A., Sarikhani, M.R., Aliasgharzad, N., 2018. Study on phosphate solubilizing ability of some bacterial isolates and determination of solubilized phosphorus fractionation in supernatant and microbial biomass. *Biological Journal of Microorganism*. 25(7) 109-125. [In Persian with English summary].
- Fallah Nosrat Abad, A., Shariati, Sh., 2014. Effect of *Pseudomonas* and *Bacillus* bacteria on yield and nutrient uptake in comparison with chemical and organic fertilizers in wheat. *Journal of Water and Soil*. 28(5), 976-986. [In Persian with English Summary].
- Hoagland, D.R., Arnon, D.I., 1950. The water-culture method for growing plants without soil. California Agricultural Experiment Station. 347, 1-32.
- Hosseinpour, K., Sodaeezade, H., Tajamolian, M., 2017. The effect of nickel and iron on soil acidity and growth parameters in *stipa capensis* (Case study: Gachsaran oil-rich region). *Journal of Environmental Science and Technology*. 19(5), 451-458. [In Persian with English summary].
- Hussain, I., Ashraf, M.A., Rasheed, R., Asghar, A., Sajid, M. A., Iqbal, M., 2015. Exogenous application of silicon at the boot stage decreases accumulation of cadmium in wheat (*Triticum aestivum L.*) grains. *Brazilian Journal of Botany* 38, 234-223.
- Isarankura, P., Isarankura, Ch., Kasikun, K., Thipkeaw, K., Prachayositkul, V., 2009. Proteomic profiling of *Escherichia Coli* in response to heavy metals stress. *European Journal of Science Research* 25, 679-688.
- Jalali, M., Asghari, Gh., Abedi, D., Rezaei, Z., 2007. Investigating the antimicrobial effect of several different plant fruit extracts *Pycnocyclaspinosa*. *Journal of Mazandaran University of Medical Sciences*. 59, 76-85. [In Persian with English Summary].
- Javad Zarrin, A., Motsharezadeh, B., 2015. The effect of cadmium on the concentrations of Cu, Fe, Mn and Zn in shoots of different wheat cultivars. *Journal of Agricultural Agriculture*. *Journal of Agricultural Crop*. 27-41. [In Persian with English Summary].
- Javadzarin, I., Motsharezadeh, B., Ahmadi, A., 2017. Evaluating activity of some antioxidant enzymes under cadmium toxicity in two wheat cultivars. *Journal of Soil Management and Sustainable Production*, 6(4), 21-38.
- Kabata-Pendias, A., Pendias, H., 2001. Trace Elements in Soils and Plants. CRC Press, New York, USA.
- Kahrarian, Z., Taran, M., 2019. The effect of nitrogen, phosphorus and cadmium on biological uptake by bacteria *Halomonas elongata* IBRC-M10433. *Journal of Environmental Science and Technology*. 21(5), 33-45. [In Persian with English summary].
- Karimi, A., Khodaverdiloo, H., Sepehri, M., Rasouli Sadaghiani, M. H., 2011. Arbuscular mycorrhizal fungi and heavy metal contaminated soils. *African Journal of Microbiology Research*. 5(13), 1571-1576.
- Karimzadeh, J., Alikhani H.A., Etesami, ., 2019. Rhizosphere soil of dryland wheat as a useful source for isolating salinity and drought resistance fluorescent *Pseudomonas* bacteria. *Journal of Water and Soil Conservation*. 26(4), 173-189. [In Persian with English summary].
- Khan, K., Lu, Y., Khan, H., Ishtiaq, M., Khan, S., Waqas, M., Wang, T., 2013. Heavy metals in agricultural soils and crops and their health risks in Swat District, northern Pakistan. *Food Chem Toxicol*. 58, 449–458.
- Khosravi, h., 2014. Azotobacter and its role in soil management. *Land Management*: 79-94. [In Persian with English Summary].
- Kovacik, J., Klejdus, B., Hedvavny, J., covska, S., Zon, J., 2010. Significance of phenols in cadmium and nickel uptake. *Journal of Plant Physiology*. 168, 576-584. [In Persian with English Summary].
- Koyro, H.W., 2006. Effect of salinity on growth, photosynthesis, water relations and solute composition of potential cash crop halophyte *Plantago coronopus* L. *Environmental and Experimental Botany*. 56, 136-149.
- Lagriffoul, A.B., Mocquot, M., Mench, b., Vangronsveld, J., 1998. Cadmium toxicity effects on growth, mineral and chlorophyll contents, and activities of stress related enzymes in young maize plants (*Zea mays L.*). *Plant and Soil*. 200, 241–250.

- Liu, J., Cao, C., Wong, M., Zhang, Z., Chai, Y., 2010. Variations between rice cultivars in iron and manganese plaque on roots and the relation with plant cadmium uptake. *Journal of Environmental Sciences.* 22, 1067– 1072.
- Lotfollahi, L., Torabi Gossafidi, H., Omidi, H., 2015. The effect of different salinity levels on proline, photosynthetic pigments and relative moisture content of German chamomile (*Matricaria chamomilla*) leaf in aquatic environment. *Journal of Plant Production Research.* 22, 89-104. [In Persian with English Summary].
- Ma, Y., Prasad, M.N.V., Rajkumar, M., 2011. Plant growth promoting rhizobacteria and endophytes accelerate phytoremediation of metalliferous soils. *Biotechnology Advances.* 29, 248–258.
- Matsouka, I., Beri, D., Chinou, I., Haralampidis, K. G., Spyropoulos, C., 2011. Metals and selenium induce medicarpin accumulation and excretion from the roots of fenugreek seedlings: a potential detoxification mechanism. *Plant soil published online.*
- Mosavi, N., Ebadi, M., Khorshidi, M., Masoudian, N., Hokmabadi H., 2018. Study of some physiological characteristics of potato tissue under salinity stress. *International Journal of Farming and Allied Sciences.* 7, 1-5. [In Persian with English Summary].
- Mousavi, S.H., 2010. An analysis of self sufficiency in wheat production. PhD dissertation, Faculty of Agricultural Economics, University of Shiraz, Iran. [In Persian with English Summary].
- Najafi Babady, K., Hassibi P., Roshanfekr H., Broumand Nassab, S., 2018. Effect of drought stress on chlorophyll fluorescence and forage yield of two forage millet cultivars. *Iranian Journal of Field Crops Research.* 16, 333-344. [In Persian with English Summary].
- Najafi, N., Ahmadinezhad, R., Aliasgharzad, N., Oustan, Sh., 2019. Effects of urea integration with manure and two types of compost (municipal waste and sewage sludge) on concentrations of micronutrients and sodium in wheat leaf, stem and seed. *Journal of Water and Soil Conservation,* 26(3), 63-81. [In Persian with English summary].
- Nourbakhsh Rezaei, S.R., Shabani, L., Rostami, M., Abdoli, M., 2019. The effect of different concentrations of cadmium chloride on oxidative stress in shoot cultures of lemon balm. *Plant Productions.* 42(4), 509-522. [In Persian with English summary].
- Pourmorad, F., Hosseiniemehr, S. J., Shahabimajd N., 2006. Antioxidant activity, phenol and flavonoid contents of some selected Iranian medicinal plants. *African Journal of Biotechnology.* 5, 1142-1145.
- Rajkumar, M., Sandhya, S., Freitas., M.N.V., 2012. Perspectives of plant associated microbes in heavy metals Phytoremedeation. *Biotechnology Advances.* 30, 74-1562.
- Rasam, GH., Dadkhah, A.S., Khoshnoud Yazdi, A., 2014. Evaluation of the effect of water deficiency on morphological and physiological traits of hyssop medicinal plant. *Journal of Agricultural Science.* 10, 12-1 [In Persian with English Summary].
- Rasouli Sadaghiani, M.H., Khodaverdiloo, H., Barin, M., Kazemalilou, S., 2016. Influence of PGPR bacteria and arbuscular mycorrhizal fungi on growth and some physiological parameters of onopordon acanthium in a Cd-Contaminated Soil. *Journal of water and soil.* 30(2), 542-554. [In Persian with English Summary].
- Rostami, F., Golchin, A., Heydari, M., 2019. Effect of mycorrhizal fungi and phosphate solubilizing bacteria on corn growth and cadmium uptake in cadmium spiked soils. *Journal of Iranian Soil and Water Research.* 50(10), 2413-2423.
- Salehi Jouzani, Gh., Moaven, E., Morsali, H., 2014. Optimization of a wettable powder formulation for two native bacillus thuringiensis strains. *Biological Control of Pest and Plant Diseases.* 3, 1-68. [In Persian with English Summary].
- Sanayei, S., Barmaki, M., Ebadi khazine Gadim, A., Torabi Giglou, T., 2019. Effect of drought stress and inoculation of mycorrhizal fungi and pseudomonas spp. On some morphophysiological characteristics of Roselle (*Hibiscus sabdariffa* L.). *Journal of Agricultural Knowledge and Sustainable Production.* 30, 71-89. [In Persian with English summary].
- Satyaprakash, M., Nikitha, T., Reddi, E., Sadhana, B., Vani, SS., 2017. Phosphorous and phosphate solubilising bacteria and their role in plant nutrition. *International Journal of Current Microbiology and Applied Sciences.* 6(4), 2133-2144.

- Sargent, K., Kieffer, P., Dommes, J., Hausman, F.J., 2014. Proteomic changes in leaves of poplar exposed to both cadmium and low temperature stress. *Journal of Environmental and Experimental Botany*. 106, 112-123.
- Shariati, Sh., Alikhani, H., Ali Pourbabaei, A., Shariati, F., 2014. The effect of inoculation on seed and soil germination of bacteria that increase plant growth (*Pseudomonas fluorescens*) on yield and adsorption of some elements in corn. *Journal of Agricultural Engineering*. 1, 93-107.
- Sharifi, R., Alizadeh, H., Ahmadzade M and Rasouli Sadaghiani, M.H., 2017. Investigation of different methods in siderophore measurement in indigenous fluorescent pseudomonads. *Biological Journal of Microorganism*. 6(21), 97-106. [In Persian with English summary].
- Tabibian, S., Bidarigh, S., Torabian, S.Y., 2019. Investigation on the adsorption of heavy metal in lead in a plane species in traffic areas in Rasht. *Human and Environment*. 17(4), 39-46.
- Tkalec, M., Peharec, P., Tefanic, S., Cvjetko, P., Sandra, S., Pavlica, M., Balen, B., 2014. The effects of cadmium-zinc interactions on biochemical responses in tobacco seedlings and adult plants. *PLoS ONE* 9, e87582 doi: 10.1371/journal.pone
- Xue, Z.C., Gao, H.Y., Zhang, L.T., 2013. Effects of cadmium on growth, Photosynthetic rate, and chlorophyll content in leaves of soybean seedlings. *Biologia Plantarum*, 57, 587-590.
- Yaghoubian, Y., Siadat, S.A., Moradi Telavata, M.R., Pirdashti, H., 2016. Quantify the response of purslane plant growth, photosynthesis pigments and photosystem II photochemistry to cadmium concentration gradients in the soil. *Russian Journal of Plant Physiology*, 63, 77-84.
- Yousefipor, M., Lack, Sh., Payandeh, Kh., 2018. Evaluation Effect of combine application of biological and chemical phosphorus fertilizers and micronutrients on seed yield and morphophysiological traits of barley (*Hordeum vulgare* L.). *Bi-Quarterly Journal of Plant Production*. 2, 107-119.
- Yousefpour, Z., Yadav, A., Baluchi, E., Faraji, H., 2014. Evaluation of yield and some physiological, morphological and phenological characteristics of sunflower under the influence of biological and chemical fertilizers of nitrogen and phosphorus. *Agricultural Boom Theory*. 3, 508-519. [In Persian with English Summary].
- Zhu, L.J., Guan, D.X., Luo, J., Rathinasabapathi, B., Ma, LQ., 2014. Characterization of arsenic-resistant endophytic bacteria from hyperaccumulators *Pteris vittata* and *Pteris multifida*. *Chemosphere*. 113, 9–16.